

Flood hazard and Risk maps using two-dimensional hydraulic model LISFLOOD-FP (Case Study: Araz Koosheh region)

Ali Tamaskani Zahedi¹ | Hossein Barani^{*1,2} | Shahroo Mokhtari³ |
Abdolreza Bahremand⁴

1. Dept. of Civil Engineering, Arak Branch, Islamic Azad University, Arak, Iran.
2. Corresponding Author, Associate Prof., Dept. of Rangeland Management, Faculty of Rangeland and Watershed Management, Gorgan University of Agricultural Sciences and Natural Resources, Gorgan, Iran. E-mail: baranihossein@yahoo.com
3. Assistant Prof., Dept. of Water Engineering, Arak Branch, Islamic Azad University, Arak, Iran.
4. Professor, Dept. of Watershed Management, Faculty of Rangeland and Watershed Management, Gorgan University of Agricultural Sciences and Natural Resources, Gorgan, Iran.

Article Info	ABSTRACT
Article type: Research Full Paper	Background and Objectives: Predicting the hydraulic behavior of the river in the face of possible floods is of particular importance to reduce the risk and damage to urban areas, facilities under construction, farms and other uses around the river. Hydraulic models are the most efficient tool for planning and developing structural and non-structural methods of flood management and reduction. Simulation of river hydraulic behavior is necessary to predict hazardous points and determine flood damage in different conditions as well as flood insurance. The purpose of this study is to use the LISFLOOD-FP two-dimensional hydraulic model and a 5m high digital elevation model to provide a flood zone with a return period of 500 years and then hazard and damage maps for the Araz Koosheh area on the southwest side of Gonbad city.
Article history: Received: 11.30.2021 Revised: 02.05.2022 Accepted: 03.09.2022	
Keywords: Araz Koosheh, Hazard Map, LISFLOOD-FP, two-dimensional model	Materials and Methods: In this study, the area of Chehel Chay River located at Araz Koosheh is studied. The LISFLOOD-FP two-dimensional hydraulic model outputs are used to calculate the risks associated with flooding, including the risks of water flooding, its severity, and the depth of water flooding that affects people or the environment. After collecting the data and using a series of equations, the risk is calculated and the data are graphically represented as hazard maps. The calculated risk includes flood risk to people, buildings, infrastructure, and a building damage map. Results: In this study, for floods with a return period of 500 years, the highest probability of mortality is 10.08% and the highest probability of bodily injury is 34.81% and the highest amount of damage to buildings is estimated at 8300 million Rials. Conclusion: Based on theoretical experiences, one of the appropriate methods for flood management is to determine the extent of flood progress and its height relation to the ground and also to determine the characteristics of floods. These characteristics include the speed and direction of flood progress in different return periods, which are called hazard maps. Determining these criteria can lead to a reduction in flood damage in different areas. All four hazard maps including Risk of fatality, Risk of injury to people and Physical Risk Assessment for buildings as well as Economic flood risk to buildings maps showed that the northeast side of the river is the most vulnerable part of the study area. Due to high

density construction in those areas, weakness in the strength of buildings and the antiquity of some buildings, awareness of the people and municipalities about the severity of flood risk and understanding the hydraulic behavior of the river is important.

Cite this article: Tamaskani Zahedi, Ali, Barani, Hossein, Mokhtari, Shahroo, Bahremand, Abdolreza. 2022. Flood hazard and Risk maps using two-dimensional hydraulic model LISFLOOD-FP (Case Study: Araz Koosheh region). *Journal of Water and Soil Conservation*, 28 (4), 1-25.



© The Author(s).

DOI: 10.22069/jwsc.2022.19717.3516

Publisher: Gorgan University of Agricultural Sciences and Natural Resources

تهیه نقشه خطر و خسارت سیل با استفاده از مدل هیدرولیکی دوبعدی (مطالعه موردي: حوزه ارازکوسه)

علی تمسکنی زاهدی^۱ | حسین بارانی^{۲،۱*} | شهره مختاری^۳ | عبدالرضا بهره‌مند^۴

۱. گروه مهندسی عمران، واحد اراک، دانشگاه آزاد اسلامی، اراک، ایران.
۲. نویسنده مسئول، دانشیار گروه مرتعداری، دانشکده مرتع و آبخیزداری، دانشگاه علوم کشاورزی و منابع طبیعی گرگان، گرگان، ایران.
۳. استادیار گروه مهندسی آب، واحد اراک، دانشگاه آزاد اسلامی، اراک، ایران.
۴. استاد گروه آبخیزداری، دانشکده مرتع و آبخیزداری، دانشگاه علوم کشاورزی و منابع طبیعی گرگان، گرگان، ایران.

اطلاعات مقاله چکیده

نوع مقاله:

مقاله کامل علمی- پژوهشی

تاریخ دریافت: ۱۴۰۰/۰۹/۰۹

تاریخ ویرایش: ۱۴۰۰/۱۱/۱۶

تاریخ پذیرش: ۱۴۰۰/۱۲/۱۸

واژه‌های کلیدی:

ارازکوسه،

مدل دوبعدی،

نقشه خطر،

LISFLOOD-FP

سابقه و هدف: پیش‌بینی رفتار هیدرولیکی رودخانه در مقابل سیلاب‌های احتمالی، جهت کاهش خطر و خسارات واردہ به مناطق شهری، تأسیسات در حال ساخت، مزارع و سایر کاربری‌ها در اطراف رودخانه از اهمیت ویژه‌ای برخوردار است. مدل‌های هیدرولیکی کارآمدترین ابزار برنامه‌ریزی و توسعه روش‌های سازه‌ای و غیرسازه‌ای مدیریت و کاهش سیل می‌باشند. شبیه‌سازی رفتار هیدرولیکی رودخانه‌ها، برای پیش‌بینی نقاط دارای خطر و تعیین خسارات ناشی از سیل، در شرایط مختلف و هم‌چنین بیمه سیل ضرورت دارد. هدف این پژوهش استفاده از مدل هیدرولیکی دوبعدی رستری LISFLOOD-FP و مدل رقومی ارتفاعی با وضوح ۵ متر، برای تهیه پنهان سیل با دوره بازگشت ۵۰۰ سال و پس از آن تهیه نقشه خطر و خسارت برای منطقه ارازکوسه واقع در ضلع جنوب‌غربی شهرستان گنبد بود.

مواد و روش‌ها: در این پژوهش حوزه ارازکوسه و رودخانه چهل‌چای مورد بررسی قرار گرفت. جهت محاسبه تفصیلی خطرات مرتبط با جاری شدن سیل شامل خطرات طغیان آب، شدت آن، عمق طغیان آب که مردم یا محیط‌زیست تحت تأثیر آن قرار دارد، از خروجی‌های مدل هیدرولیکی دوبعدی LISFLOOD-FP استفاده گردید. پس از جمع‌آوری داده‌ها و با استفاده از یکسری معادلات، ریسک را محاسبه و داده‌ها از لحاظ گرافیکی به عنوان نقشه‌های خطر نشان

یافته‌ها: در این پژوهش برای سیل با دوره بازگشت ۵۰۰ سال، بیشترین احتمال مرگ و میر

۱۰/۰۸ درصد و بیشترین احتمال آسیب بدنی ۳۴/۸۱ درصد و بیشترین میزان خسارت وارد به ساختمان‌ها برای مناطقی که دچار تخریب کلی می‌شوند ۸۳۰۰ میلیون ریال برآورد گردید.

نتیجه‌گیری: بر اساس تجربیات تئوریک، یکی از شیوه‌های مناسب در جهت مدیریت سیلاب، تعیین میزان پیشروی سیلاب و ارتفاع آن نسبت به سطح زمین و نیز تعیین خصوصیات سیلاب از جمله سرعت و جهت پیشروی سیل در دوره بازگشت‌های مختلف است که تحت عنوان نقشه‌های خطر صورت می‌گیرد و می‌تواند منجر به کاهش خسارات ناشی از سیل در مناطق مختلف شود. در هر چهار نقشه خطر شامل نقشه احتمال آسیب بدنی، نقشه احتمال مرگ و میر افراد، نقشه آب‌گرفتگی ساختمان و نقشه محدوده آب‌گرفتگی معابر و همچنین نقشه خسارت، نشان داد که ضلع شمال‌شرقی رودخانه آسیب‌پذیرترین بخش از محدوده مطالعاتی است و با توجه به تراکم بالای ساخت‌وساز در آن نواحی، ضعف در استحکام بنای ساختمان‌ها و قدمت زیاد بعضی از ساختمان‌ها، آگاهی مردم، شهرداری و ادارات ذی‌ربط از شدت خطر سیل و شناخت رفتار هیدرولیکی رودخانه دارای اهمیت می‌باشد.

استناد: تمکنی زاهدی، علی، بارانی، حسین، مختاری، شهر، بهره‌مند، عبدالرضا (۱۴۰۰). تهیه نقشه خطر و خسارت سیل با استفاده از مدل هیدرولیکی دوبعدی LISFLOOD-FP (مطالعه موردی: حوزه ارازکوسه). پژوهش‌های حفاظت آب و خاک، ۱-۲۵ (۴)، ۲۸.

DOI: 10.22069/jwsc.2022.19717.3516



© نویسنده‌گان.

ناشر: دانشگاه علوم کشاورزی و منابع طبیعی گرگان

ناشی از آن مؤثر باشدند (۲۱)؛ بنابراین لازم است با مطالعه خصوصیات هیدرولیکی جریان و حریم بستر رودخانه، محدوده امن برای فعالیت‌های انسان در اطراف آن تعریف گردد (۱۶).

امروزه نقشه‌های خطر سیل یکی از اجزای اساسی هر استراتژی مدیریت خطر سیل است. این نقشه‌ها اطلاعات مکانی در مورد تعدادی از متغیرها (مانند میزان سیل، عمق آب، سرعت جریان) را که برای تعیین کمیت اثرات سیل و بنابراین ارزیابی خطر سیل بسیار مهم هستند، فراهم می‌کنند. علاوه بر این، می‌توان از آن‌ها به عنوان یک ابزار ارتباطی قدرتمند استفاده کرد که امکان تجسم تأثیر سیل رودخانه در یک منطقه را به سرعت فراهم کرد (۱۰، ۱۱، ۱۶). ارزیابی کمی و قابل مقایسه ریسک سیل برای به دست آوردن شاخص‌های قابل اندازه‌گیری در برنامه‌ریزی‌ها و تصمیم‌گیری‌های جهانی و ملی و کاهش خطر سیل کمک‌کننده می‌باشد. در اروپا، نقشه‌های خطر سیل توسط پژوهش‌گران مختلفی هم‌چون باردو و همکاران (۲۰۰۷)، فین و همکاران (۲۰۱۲)، آلفیری و همکاران (۲۰۱۷)، ۲۰۱۵، ۲۰۱۶ و دوتربی و همکاران (۲۰۱۴) تهیه شده است، این نقشه‌ها برای مطالعات مختلفی مانند ارزیابی خطر سیل رودخانه تحت شرایط اقتصادی-اجتماعی و اقلیمی، ارزیابی اقدامات مقابله با سیلاب و ارزیابی سریع ریسک در زمان وقوع سیل استفاده شده است (۱۱، ۱۲، ۹، ۵، ۳، ۲). در یک مطالعه دیگر در کشور آمریکا، وینگ و همکاران (۲۰۱۷) با استفاده از مجموعه داده‌های مدل‌سازی هیدرودینامیکی با وضوح بالا، مجموعه‌ای از نقشه‌های خطر سیل را برای ایالات متحده تهیه کردند و نشان دادند که نقشه‌های در مقیاس قاره می‌توانند به دقت مشابه نقشه‌های خطر در مقیاس ملی و حتی محلی باشند (۲۲).

مقدمه

طغیان سیل می‌تواند تأثیرات شدیدی بر جمعیت مناطق آسیب‌دیده بگذارد. این تأثیرات می‌تواند مستقیم باشد مانند صدمات بدنی یا تلفات جانی و یا غیرمستقیم مانند تأثیر اقتصادی در اثر آسیب به ساختمانها یا از دست دادن درآمد ناشی از تعطیلی اجباری مشاغل باشد، سیل هم‌چنین می‌تواند در اثر آسیب فیزیکی به زیستگاه‌های حساس یا تأثیر اجتماعی به دلیل از دست دادن مکان‌های تفریحی یا فرهنگی مهم، تأثیر محیطی بگذارد. گرچه امروزه بخش مهمی از سیلاب رودخانه‌ها مهار شده‌اند اما هنوز سیل خسارات جانی و مالی فراوانی را به جوامع بشری و سرمایه‌های آن‌ها وارد می‌سازد (۱۰، ۱۱). بررسی آمار و اطلاعات، خسارات سالانه ناشی از وقوع سیلاب‌ها در ایران و جهان بیانگر گستردگی صدمات ناشی از سیلاب به منابع طبیعی، انسانی و اقتصادی مناطق مختلف است. مطالعات مختلف دلالت بر این موضوع دارد که عدم توجه به حریم مسیل‌ها و رودخانه‌ها باعث ایجاد یک رشد نمایی در فراوانی وقوع سیلاب و میزان خسارات وارد گردیده است و در این میان مناطق شهری و نیمه‌شهری بیشترین پتانسیل خطرپذیری از سیل را دارا می‌باشدند (۱۰، ۲۱). با توجه به این‌که حفاظت کامل از خطر سیلاب امکان‌پذیر نیست، زیستن در کنار سیلاب و اعمال سیاست‌های جدید در خصوص مدیریت کاربری اراضی و توسعه مناطق مسکونی حریم رودخانه به‌منظور کاهش اثرات تخریب آن امری ضروری است. با عنایت به تأثیر عوامل مختلف در بروز سیل، انواع اقدامات مدیریتی (آبخیزداری و مدیریت کاربری اراضی، برنامه‌ریزی و مدیریت در مسیر رودخانه‌ها و مسیل‌ها، پیش‌بینی و هشدار سیل، اقدامات پیش‌گیری و حمایتی در مناطق سیل‌گیر و پنهان‌بندی خطر سیل) می‌توانند در کاهش خسارات

گرفت و مشخص شد که بسیاری از مناطق زیرکشت برنج که در نزدیکی بخش میانی و پایین‌دست حوزه رودخانه واقع شده بودند بیشتر در معرض خطر سیل هستند (۴).

ایران جزء کشورهای حادثه‌خیز است که افراد آن تحت تأثیر بلایای طبیعی قرار دارند و نزدیک به ۴۰ میلیون نفر از جمعیت کشور به‌نوعی در معرض بلایای طبیعی بوده‌اند. به‌طوری‌که در سال ۲۰۱۵، در اثر بلایای طبیعی در ایران ۱۰۷ کشته و ۲۶۴۸۱ مجروح یا آسیب‌دیده گزارش شده است (۲۰). در سال‌های اخیر تعداد سیلاب‌ها در ایران افزایش یافته که مناطق مختلف کشور را تحت تأثیر قرار داده است. در سال ۲۰۱۹، سیل یکی از شدیدترین بلایای طبیعی در دهه‌های اخیر ایران بود که بسیاری از استان‌ها را تحت تأثیر قرار داده و خسارات مالی قابل توجهی به بسیاری از شهرها وارد کرده است (۱۴). بارندگی‌های شدید که از اوایل اسفند ۱۳۹۷ در نواحی شمالی ایران آغاز شد، بسیاری از شهرهای استان‌های گلستان و مازندران را محاصره کرد و تداوم بارندگی در مناطق مرکزی و غربی ایران سرانجام ۲۵ استان را تحت تأثیر قرار داد. بیشترین میزان خسارت در استان‌های گلستان، خوزستان و لرستان با ۷۶ کشته و هزینه‌ای بالغ بر ۸۰۰۰۰۰ دلار (۳۵۰ هزار میلیارد ریال) به ثبت رسیده است (۱۵). استان گلستان واقع در شمال شرقی ایران و در جنوب شرقی دریای خزر، با یک میلیون و ۸۶۹ هزار نفر جمعیت، از جمله استان‌هایی است که به لحاظ شرایط فیزیوگرافی و اقلیمی دارای پتانسیل سیل‌خیزی و سیل‌گیری بالایی می‌باشد به‌طوری‌که طی مدت ۲۷ سال، ۱۲۷ مورد ریزش باران در ۷۰۴ مورد مکانی از حوزه‌های آبخیز استان شاهد بروز سیل بوده است. هدف از این پژوهش تهیه نقشه خطر و خسارت سیل با دوره بازگشت ۵۰۰ سال با استفاده از مدل هیدرولیکی دو بعدی LISFLOOD-FP در

کیفیت نقشه‌های پهنه سیل در مقیاس‌های مختلف به‌واسطه افزایش دقت در ابزار مدل‌سازی، دائمًا در حال بهبود است. یکی از مدل‌های فیزیکی، دو بعدی و رستری که قادر به شبیه‌سازی پویای سیل با قدرت LISFLOOD-FP تفکیک مکانی خوب می‌باشد است که از آن برای تهیه نقشه‌های خطر در سطح جهانی، ملی و محلی استفاده می‌شود. به‌طورکلی در ایران مطالعات محدودی در مورد ایجاد نقشه‌های خطر و خسارت سیل با استفاده از مدل‌های هیدرولیکی دو بعدی وجود دارد (۱۲). در مطالعه صورت گرفته توسط صادقیان و همکاران (۲۰۲۰) از مدل LISFLOOD-FP جهت تعیین رفتار هیدرولیکی جریان سیل و تراز آب در دوره‌های بازگشت مختلف در حوزه آبخیز شمشک استفاده کردند نتایج بیانگر کارایی مناسب مدل در شبیه‌سازی رفتار جریان است و نشان می‌دهد در بخشی از شاخه اصلی دریندرس و همچنین در محل اتصال دوشاخه شمشک و دریندرس استان تهران در برابر سیلاب‌ها بسیار آسیب‌پذیرند (۱۹). همچنین، رحیم‌زاده‌و غاز و همکاران (۲۰۱۹)، با مقایسه اختلاف پهنه سیلاب ایجادشده به‌وسیله دو مدل هیدرولیکی یک بعدی HEC-RAS و دو بعدی LISFLOOD-FP در بازه ۱۰ کیلومتر از دشت سیلابی رودخانه گرگان‌رود پرداختند، نتایج نشان داد مدل LISFLOOD-FP با داشتن مقادیر اصطکاک بهینه یکسان برای دو رویداد سیلاب، نسبت به مدل یک بعدی در شبیه‌سازی هیدرولیکی جریان تا حدودی بهتر بود (۱۸). در پژوهشی دیگر، امانت و همکاران (۲۰۱۵)، از مدل LISFLOOD-FP در سریلانکا از طریق ارتباط با سیستم مدل‌سازی هیدرولوژیکی استفاده کردند. نتایج مدل مذکور با استفاده از تصاویر راداری روزانه مصنوعی^۱ (SAR) برای ارزیابی اثر خطر سیل در بخش کشاورزی موردنرسی قرار

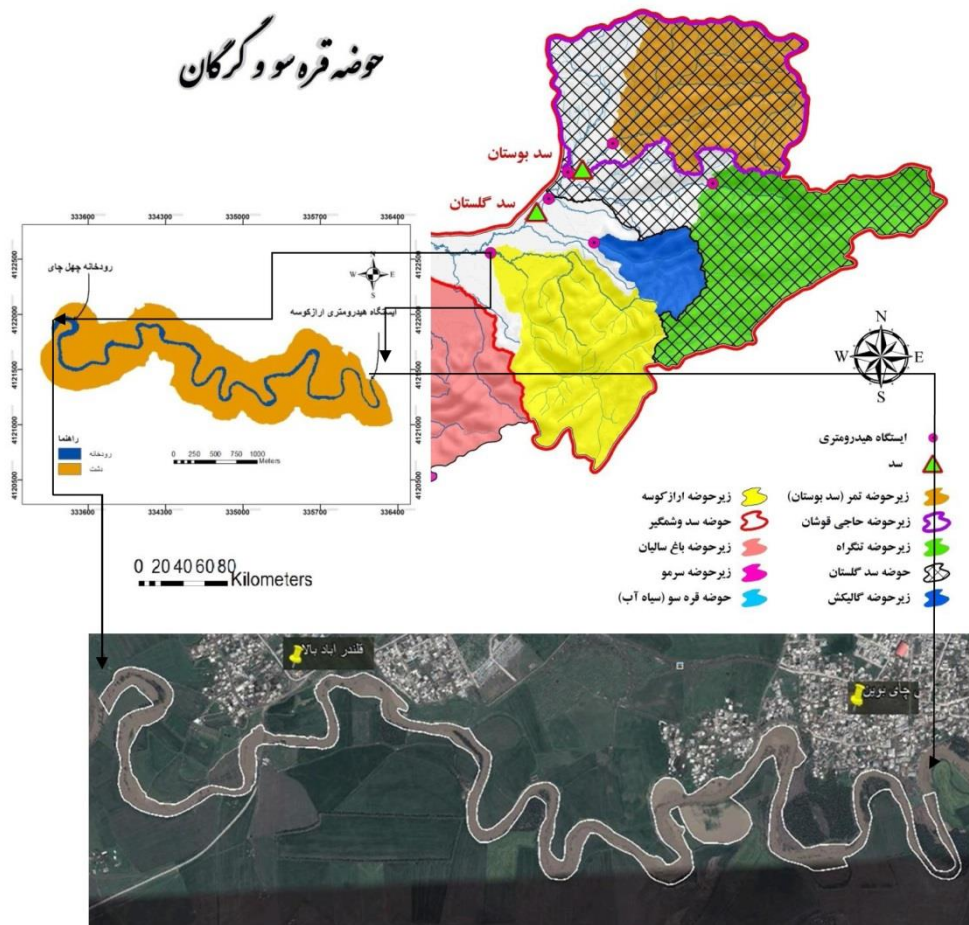
۱- Synthetic Aperture Radar

شیب ۰/۰۰۰۷ درصد که نقطه شروع آن ایستگاه هیدرومتری ارازکوسه می‌باشد؛ عرض متوسط مقطع رودخانه حدود ۳۰ متر بوده و دشت سیلابی آن بیشتر دارای کاربری اراضی کشاورزی است، همچنین، رودخانه‌ای اصلی که در آن جریان دارد، رودخانه چهل‌چای (خرمالو) است. مختصات جغرافیایی بازه موردمطالعه طول جغرافیایی ۵۵° و ۵۵° و ۰۷° تا ۰۹° و ۳۷° و ۱۲° و ۱۳° شرقی و عرض جغرافیایی $۴۱^{\circ} ۰۰' ۰۰''$ شمالی واقع شده است مناطق مسکونی تحت پوشش آن شامل چای‌بوین و قلندرآباد بالا می‌باشد و غرب و جنوب‌غربی شهرستان گندکاووس واقع شده است.

منطقه ارازکوسه در استان گلستان می‌باشد. منطقه ارازکوسه به علت هم‌جواری مناطق مسکونی و زراعی با رودخانه و بروز سیل‌های مکرر، انتخاب و تهییه نقشه خطر و خسارت برای این منطقه انجام گردید.

مواد و روش‌ها

حوزه بزرگ گرگان رود و زیرحوزه‌های آن از جمله ارازکوسه در شمال شرق ایران در استان گلستان می‌باشند. حوزه ارازکوسه دارای حداقل ارتفاع از سطح دریا ۲۸ متر و حداقل ارتفاع ۲۸۸۹ متر است. شیب متوسط این حوزه ۲۶ درصد و محیط حوزه ۲۵۳ کیلومتر است. طول بازه موردمطالعه ۷ کیلومتر و با



شکل ۱- نقشه موقعیت منطقه موردمطالعه.

Figure 1. Location map of the study area.

محدود^۵، روش انطباقی^۶، روش شتاب^۷ و روش رو^۸ می‌باشد، انتخاب راه حل عددی به خصوصیاتی از سیستم مدل‌سازی شده، زمان موردنیاز برای اجرا و داده‌های در دسترس بستگی دارد. در این مطالعه از راه حل ساب گردید، برای محاسبه جریان کanal و از روش شتاب برای محاسبه دشت سیلابی استفاده شده است، رابطه ممتوnom و پیوستگی، معادلات سنتونانت برای رابطه آب کم عمق دوبعدی جریان بین سلول‌ها در زیر نوشته شده است (به ترتیب رابطه‌های ۱، ۲ و ۳):

$$\frac{\partial h}{\partial x} + \frac{\partial q_x}{\partial x} + \frac{\partial q_y}{\partial y} = 0 \quad (1)$$

$$\frac{\partial q_x}{\partial t} + gh \frac{\partial(h+z)}{\partial x} + \frac{gn^2|q_x|q_x}{h^{\frac{7}{3}}} = 0 \quad (2)$$

$$\frac{\partial q_y}{\partial t} + gh \frac{\partial(h+z)}{\partial y} + \frac{gn^2|q_y|q_y}{h^{\frac{7}{3}}} = 0 \quad (3)$$

که در آن، q_x و q_y نرخ جریان حجمی، y و x جهت کارتنین، A سطح مقطع عبور جریان، h عمق آب، z ارتفاع بستر، g شتاب گرانشی، n ضریب مانینگ، R شعاع هیدرولیکی، t زمان و x فاصله جهت کارتنین (۱۸). در این روش موج سیل انتشار یافته، از اصطکاک، شبیه و شتاب آب تأثیر می‌پذیرد. مدل هیدرولیکی LISFLOOD-FP یک مدل دوبعدی هیریدی مبتنی بر رستر است و از آن برای پهن‌بندی سیل در دشت سیلابی استفاده می‌کنیم که جریان در داخل کanal را به صورت یک بعدی و زمانی که جریان وارد دشت سیلابی می‌شود، جریان را به صورت دوبعدی شبیه‌سازی می‌کند؛ که در آن جریان علاوه بر حرکت در طول (x) در عرض نیز گسترش می‌یابد (y) که ضرورت استفاده از مدل‌های دوبعدی را توجیه می‌کند (۱۸، ۱۹).

- 5- Flow-limited
- 6- Adaptive
- 7- Acceleration
- 8- Roe

LISFLOOD-FP در سال ۱۹۹۹ در یک پروژه مشترک بین دانشگاه بربیستول انگلیس و مرکز تحقیقات مشترک اتحادیه اروپا برای سرمایه‌گذاری روی منابع داده‌های جدید (بیتس و دی رو، ۲۰۰۰) توسعه داده شد (۶). این مدل در سال‌های ۲۰۰۵، ۲۰۰۸ و ۲۰۱۳ توسط بیتس و همکاران توسعه داده و به روز شد. مدل هیدرولیکی LISFLOOD-FP مدل هیریدی براساس یک شبکه شطرنجی است؛ که با جریان سیل به صورت هوشمند براساس اصول هیدرولیک و تجسم مفاهیم فیزیکی از جمله ذخیره توده‌ای و اتصال هیدرولیکی برخورد می‌کند. متعلق به نسل جدیدی از مدل‌های هیدرودینامیکی شبیه‌سازی سیل است که صرفاً با استفاده از نقشه رقومی ارتفاعی برای رودخانه و آبراهه‌های حوزه، اطلاعات زیری مسیر و نرخ ورودی جریان اجرا می‌شود. ویژگی‌های این مدل عبارت‌اند از: ۱- مبتنی بر رستر، ۲- بزرگ‌مقیاس، ۳- سهولت فرمولاسیون و بازده محاسباتی بالا، ۴- سادگی استفاده از آن، ۵- تنظیم گام زمانی و مکانی محاسبات به صورت تطبیقی توسط خود مدل، ۶- توانایی لحاظ کردن رودخانه‌های با عرض کوچک‌تر از ابعاد پیکسل‌های DEM (۱۹). یک مدل فیزیکی است که قادر به شبیه‌سازی پویای سیل می‌باشد، درنتیجه اجازه می‌دهد تا مناطق بزرگی باقدرت تفکیک فضایی خوب مدل‌سازی شود. این مدل لینک به GIS و PCRASTER نیز می‌باشد. مدل شامل برخی راه حل‌های عددی است که گسترش موج سیل در طول کanal و عبور آن به دشت سیلابی را با استفاده از رابطه آب کم عمق شبیه‌سازی می‌کند. این راه حل‌ها برای کanal شامل روش سینماتیک^۱، روش دیفیوژن^۲ و روش ساب گردید^۳ است و برای دشت سیلابی شامل روش روتنینگ^۴، روش جریان

- 1- Cinematic
- 2- Diffusive
- 3- Sub grid solver
- 4- Routing

روش شتاب مشخص شد و همچنین سایر موارد مانند گام زمانی و خروجی های موردنیاز تعیین گردید، بعد از آماده کردن فایل های ورودی موردنیاز، در یک محیط تحت داس مدل فراخوانی شده و مدل شبیه سازی را انجام می دهد و درنهایت خروجی های مدل استخراج می شوند، از جمله خروجی مدل فایل حداکثر ارتفاع سطح آب و حداکثر عمق آب می باشد که برای تولید نقشه خطر و خسارت استفاده می شود و از آنجا که مبنای این مدل قوانین فیزیک می باشد درنتیجه تنها پارامتری که نیمه تجربی است و می توان آن را کالیبره کرد، ضریب زبری مانینگ است. مقادیر اولیه ضریب زبری کanal و دشت سیلابی از طریق بازدید میدانی از بازه مورد مطالعه و بر اساس جداول مرجع (چاو، ۱۹۵۹) تعیین شد، ضریب زبری به بلندی، تراکم، توزیع و نوع گیاهان و همچنین اندازه و شکل مواد تشکیل دهنده بستر کanal یا رودخانه بستگی دارد، که با استفاده از روش های مختلف محاسبه می شود و در مرحله واسنجی مدل مقادیر بهینه آن ها به دست آمد.

در این پژوهش مدل حساسیت نسبتاً بالایی نسبت به ضریب زبری نشان داد و با تغییر ضریب زبری تراز آب حاصل از مدل دچار تغییر می شد، بعد از تئیه داده ها و فایل های ورودی موردنیاز، مدل LISFLOOD-FP ایستگاه هیدرومتری اراز کوسه به عنوان شرایط مرزی بالادست اجرا گردید. واقعه مذکور دارای دبی پیک ۱۱۳ متر مکعب بر ثانیه بوده که در تاریخ ۲۶ اسفند سال ۱۳۹۰ رخ داده است. این واقعه با توجه به دسترسی تصویر ماهواره ای پهنه سیل مشاهداتی که از گوگل ارث به دست آمده است، انتخاب گردید.

سپس واسنجی مدل با تغییر ضریب زبری کanal و دشت سیلابی و مقایسه مساحت پهنه سیل شبیه سازی شده توسط مدل با مساحت پهنه سیل

مراحل استفاده از مدل هیدرولیکی دو بعدی بازگشت های مختلف از داده های دبی لحظه ای حداکثر سالانه ایستگاه هیدرومتری اراز کوسه در مدت ۵۰ سال (سال آبی ۴۴-۴۵ تا ۹۳-۹۴) استفاده گردید. با استفاده از برنامه SMADA، توزیع های آماری مختلف محاسبه و نمودار دبی آن به طور چشمی مقایسه گردید، بنابراین توزیع آماری لوگ پیرسون نوع ۳، بهترین برآذش را برای محاسبه دبی های با دوره های بازگشت مختلف نشان داد. سپس بر اساس توزیع آماری لوگ پیرسون نوع ۳، دبی با دوره بازگشت های ۲، ۵، ۱۰، ۲۵، ۵۰، ۱۰۰، ۲۰۰ و ۵۰۰ سال در ایستگاه هیدرومتری اراز کوسه برآورد گردید که مقادیر آن در جدول ۴ به دست آمده است.

تمام نقشه ها و دستورات لازم برای اجرای مدل (شامل تعیین گام زمانی، ضریب زبری، نوع راه حل برای کanal و دشت سیلابی و تعیین فولدری برای ذخیره فایل های خروجی و غیره)، به صورت کلمات کلیدی در فایل پارامترها تعیین می شود.

نقشه مدل رقوی ارتفاع موردنیاز با اندازه سلول ۵x۵ از یک نقشه موجود با مقیاس ۱:۱۰۰۰ که با عملیات نقشه برداری زمینی به دست آمده، استخراج شد و فایل ضریب زبری دشت سیلابی برای مشخص کردن ضریب زبری متغیر در دشت سیلابی، با اختصاص یک ارزش از ضریب زبری برای هر سلول در شبکه رستری، تهیه شد و سپس برای تعیین شرایط مرزی بالادست میزان دبی در ایستگاه هیدرومتری و برای شرایط مرزی پایین دست مدل بر مبنای فرض محاسبه عمق نرمال و تعیین شبی سرتاسری بازه رودخانه، اقدام گردیده است.

روش حل جریان در کanal اصلی برای این مطالعه بر اساس روش ساب گردید و در دشت سیلابی بر اساس

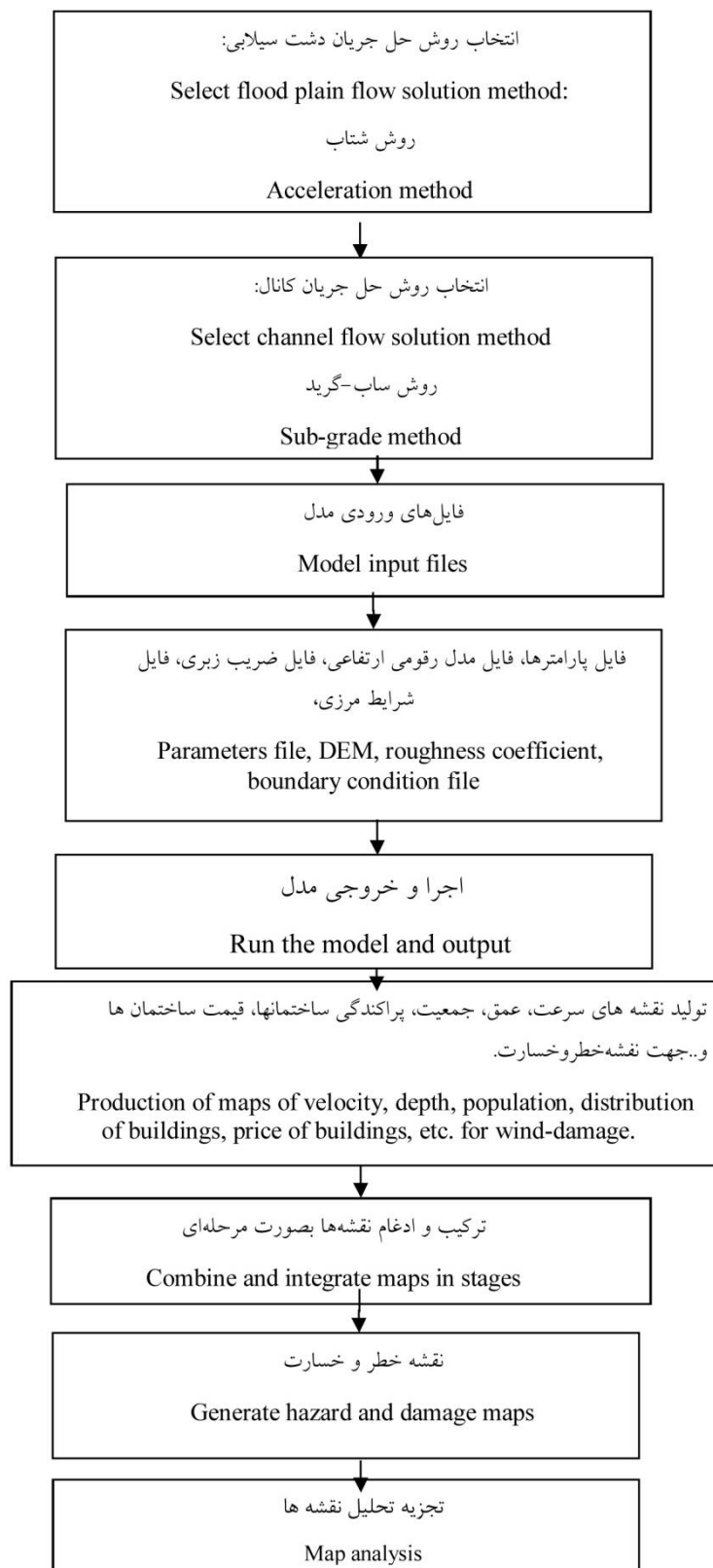
تهیه نقشه خطر و خسارت، شامل محاسبه تفصیلی خطرات مرتبط با جاری شدن سیل شامل بررسی خطرات وجود طغیان آب، شدت آن، عمق طغیان آب می‌باشد که بسیار بالاهمیت است و مردم یا محیط زیست تحت تأثیر آن قرار دارد. سپس اطلاعاتی در مورد محل قرارگیری مردم و آسیب‌پذیری یا حساسیت آن‌ها به سیل به دست آمد (سن جمعیت یا نوع زیستگاه در یک منطقه). پس از جمع آوری این داده‌ها، ریسک را محاسبه و داده‌ها از لحاظ گرافیکی به عنوان نقشه‌های خطر نشان داده شد. خطر محاسبه شده شامل خطر فیزیکی، اقتصادی و مردم می‌باشد. جهت تولید نقشه خطر با استفاده از داده‌های اقتصادی و نتایج شبیه‌سازی مدل هیدرولیکی و دو بعدی LISFLOOD-FP برای دوره بازگشت ۵۰۰ سال، نیاز به تولید نقشه‌های متعددی بود که شرح همه آن‌ها در جدول ۱ آمده است (۱۳). دلیل انتخاب دوره بازگشت ۵۰۰ سال، سابقه وقوع سیل با دوره بازگشت حدود ۵۰۰ ساله و حتی بیشتر در شاخه‌های حوزه گرگان‌رود می‌باشد. ازان‌جاکه شروع پژوهش مصادف با سال وقوع سیل خارق العاده ۱۳۹۷ می‌باشد و با توجه به این‌که دوره بازگشت این سیل در بعضی ایستگاه‌ها بالا بوده است، به‌طور مثال در ایستگاه قراقلی بین ۴۰۰ تا ۴۵۰ متر مکعب بر ثانیه گزارش گردید (گزارش هیدرولوژی هیئت گزارش ملی سیلاب‌ها)، بنابراین تصمیم گرفته شد که از سیل ۵۰۰ ساله استفاده گردد.

مشاهده‌ای و براساس شاخص تطابق نقشه‌ها (F) صورت گرفت. درواقع در واسنجی مدل هیدرولیکی، تابع هدف را مقایسه مساحت پهنه‌های سیل مشاهداتی و شبیه‌سازی شده قرار داده و ارزیابی مدل براساس شاخص تطابق نقشه‌ها (F) می‌باشد (رابطه ۴).

$$F = \frac{\text{Num}(\text{Smod} \cap \text{Sobs})}{\text{Num}(\text{Smod} \cup \text{Sobs})} \quad (4)$$

که در آن، F شاخص تطابق نقشه‌ها، Sobs مساحت (تعداد سلول یا پیکسل) پهنه سیل مشاهداتی و Smod مساحت (تعداد سلول یا پیکسل) پهنه سیل شبیه‌سازی شده با مدل است. مقدار F بین صفر تا ۱۰۰ تغییر می‌کند. مقدار صفر برای زمانی که بین سطح غرقابی مشاهده‌ای و پیش‌بینی شده توسط مدل هیچ همپوشانی وجود نداشته باشد و مقدار ۱۰۰ تطابق کامل سطح غرقابی مشاهده‌ای و پیش‌بینی شده را نشان می‌دهد، شاخص F نتایج خوبی برای مسائل مدل‌سازی پهنه سیل ارائه می‌دهد و امکان مقایسه نتایج مدل را در بازه‌ها و واقعی سیلابی مختلف فراهم می‌آورد. مقادیر پارامترها در طول ۷ کیلومتر از بازه رودخانه ثابت لحاظ شده و امکان واسنجی به صورت مکانی و موضعی (به‌ویژه با توجه به تغییرات پوشش دشت سیلابی) وجود دارد و در صورت نیاز به تغییر موضعی ضریب زیری می‌توان آن‌ها بر روی نقشه ضریب زبری اعمال کرد.

فلوچارت مراحل مدل‌سازی و تهیه نقشه خطر و خسارت برای حوزه مورد مطالعه در شکل ۲ نشان داده شده است (۱۳).



شکل ۲- فلوچارت محاسبات و مدل‌سازی LISFLOOD-FP

Figure 2. LISFLOOD-FP Computing and Modeling Flowchart.

جدول ۱- عنوانین نقشه‌های مورد نیاز جهت تولید نقشه‌های خطر.

Table 1. Titles of maps required to produce hazard maps.

لایه‌ها Data Layer	توضیحات Description
حداکثر عمق شبیه‌سازی شده آب در هر سلول Maximum simulated depth of water in each cell	maxdepth.asc
حداکثر سرعت شبیه‌سازی شده آب به داخل / خارج از هر سلول Maximum simulated velocity of water into/out of each cell	maxVc.asc
کاربری اراضی در هر سلول، ۰ = روستایی / فاقد ساختمان، ۱ = مسکونی، ۲ = صنعتی، ۳ = تجاری Land use in each cell, 0 = rural/no buildings, 1 = residential, 2 = industrial, 3 = commercial	landuse.asc
تعداد ساختمان‌های هر سلول Number of buildings in each cell	buildings.asc
متوسط قیمت ملک ساختمان‌ها در هر سلول Average property price of buildings in each cell,	buildings_cost
جمعیت (تعداد افراد) در هر سلول Population (number of people) per cell,	population.asc
جمعیت در هر سلول از ۷۵ سال یا بیشتر، % of the population in each cell aged 75 or greater	people_age.asc
جمعیت هر سلول که ناقان / بیمار طولانی مدت / دارای معلویت % of the population in each cell who are infirm/long term sick/ disabled	people_mobility.asc
موقعیت معاشر منطقه Location of roads in the area – shape file format for use in ArcMap	roads.shp

برای تهیه نقشه خطر سیل مربوط به مردم، در ابتدا شاخص خطر برای افراد در معرض خطر سیل محاسبه گردید، خطر ناشی از وقوع سیل (hazard_people) برای مردم می‌تواند مطابق رابطه ۳ محاسبه شود (۷، ۸ و ۱۳).

با توجه به این‌که در زمان بروز سیل علاوه بر مردم، ساختمان‌ها و زیرساخت‌ها نیز دچار آسیب می‌شوند بنابراین تهیه نقشه‌های خطر برای هر سه پارامتر مورد اشاره انجام گردید.

نقشه خطر سیل مربوط به مردم به دو قسمت نقشه احتمال مرگ و میر و نقشه احتمال آسیب بدنی

$$\text{hazard_people} = [\text{Maximum Velocity}] + 1.5 \times ([\text{Maximum depth}] + [\text{debris}]) \quad (3)$$

آب در هر سلول (ms^{-1})، Hazard_people خطر ناشی از وقوع سیل برای مردم.

که در آن، Maximum depth حداکثر عمق آب در هر سلول (m)، Debris شاخص خطر (مواد رسوبی داخل سیل)، Maximum Velocity حداکثر سرعت

جدول ۲- تخمین شاخص خطر (تخمین مواد رسوبی داخل سیل) (۷، ۸ و ۱۳).

Table 2. Debris factor estimation (estimation of sediments in flood)

عمق آب Flood depth	فاکتور مواد رسوبی برای نواحی شهری Debris factor (DF) for urban areas
d<0.25 m	0
d<0.25 m or v ≥ 2 m/s	1

هم‌چنین با استفاده از نرم‌افزار GIS، نقشه‌های لایه پراکندگی مکانی، تعداد افراد مسن و تعداد افراد دارای ناتوانی حرکتی را با هم تلفیق و آن را sus_people نام‌گذاری نموده و پس از طی مراحل و از طریق رابطه ۴ نقشه خطر مربوط به درصد آسیب بدنی به افراد برای منطقه مورد مطالعه به دست آمد (۷، ۸ و ۱۳).

نقشه خطر ناشی از وقوع سیل (hazard_people) با استفاده از دو خروجی مهم مدل، شامل لایه رستری حداقل سرعت آب و لایه رستری حداقل عمق آب در هر سلول و هم‌چنین شاخص خطر که میزان آن در جدول ۲ داده شده است به دست می‌آید.

$$\text{Population} \times 2) \times 0.09 \times [\text{hazard_people}] \times ([\text{sus_people}] / 100 = r1_people)] \quad (4)$$

و در انتها با استفاده از رابطه ۵ نقشه احتمال مرگ و میر افراد با استفاده از نرم‌افزار GIS و به کارگیری نقشه‌های نقشه خطر ناشی از وقوع سیل (hazard_people) و نقشه درصد آسیب بدنی به افراد (r1_people) به دست آمد (۷، ۸ و ۱۳).

که در آن، Population نقشه جمعیت مردم در هر سلول، sus_people نقشه لایه‌های تعداد افراد مسن و تعداد افراد ناتوان حرکت، r1_people نقشه درصد آسیب بدنی به افراد.

$$r2_people = (r1_people) \times 2) \times ([\text{hazard_people}] / 100) \quad (5)$$

برای محاسبه خطر؛ شاخص‌ها، نوع داده‌ها و فایل‌های مورد نیاز به تفکیک هر گروه در جدول ۳ نشان داده شده است.

که در آن، r2_people نقشه احتمال مرگ و میر افراد.

جدول ۳- شاخص‌ها و داده‌ها و فایل‌های مورد نیاز جهت تولید نقشه‌های خطر.

Table 3. Indicators, data and files required to generate hazard maps.

فایل‌های وابسته به آن Related data file	نوع داده‌ها Typical data source	شاخص Indicator(s)	گیرنده Receptor
landuse.asc population.asc people_age.asc people_mobility.asc	داده‌های سرشماری / نقشه کاربری اراضی Census data/land use map	شاخص در معرض قرارگرفتن: جمعیت هر سلوول شاخص حساسیت: درصد سن جمعیت بالای ۷۵ سال، جمعیت ناتوان / افراد دارای بیماری طولانی مدت / افراد معلول Exposure indicator: Presence of people, in this case population per cell Susceptibility indicator: % of population age ≥ 75 and % population infirm/long term sick/disabled	مردم People
landuse.asc buildings.asc buildings_cost.asc	نقشه کاربری اراضی - نقشه خیابان‌ها Land use map, street map, OS Map	شاخص در معرض قرارگرفتن: تعداد ساختمان‌ها در هر سلوول Exposure indicator: Presence of buildings, in this case number per cell	ساختمان‌ها: مسکونی، تجاری، صنعتی Buildings – Split into residential, commercial, industrial
roads.shp roads.asc	نقشه کاربری اراضی - نقشه خیابان‌ها Land use map, street map, OS Map	وجود یا عدم وجود جاده‌ها در هر سلوول Exposure indicator: presence of roads	زیرساخت Infrastructure

مرحله دوم ارزیابی خطر سیل برای این منطقه، ارزیابی ریسک ساختمان است، سطح خطر مورد انتظار برای ساختمان‌ها را در هر منطقه از طریق خروجی‌های مدل LISFLOOD-FP و با استفاده از نرمافزار GIS به دست آورده‌یم، برای این بخش، شاخص‌های خطر شامل حداکثر عمق آب و حداکثر سرعت آب هستند که برای شناسایی طبقات ریسک با توجه به میزان مورد انتظار خسارت واردہ به ساختمان‌ها، ترکیب می‌شوند. در این نقشه برای هر منطقه میزان خسارت واردہ به ساختمان‌ها برای دوره بازگشت ۵۰۰ سال محاسبه شد (۷، ۸ و ۱۳).

نتایج و بحث

سپس بر اساس توزیع آماری لوگ پیرسون نوع ۳، دبی با دوره بازگشت‌های ۲، ۵، ۱۰، ۲۵، ۵۰، ۱۰۰، ۷، ۸ و ۱۳.

برای گروه مربوط به ساختمان‌ها، نقشه خطر از نظر میزان آسیب و خسارت به ساختمان‌ها و همچنین محتویات آن تولید گردید. این نقشه میزان آب گرفتگی ساختمان‌ها در زون‌های مختلف را نشان می‌دهد که با استفاده از نرمافزار GIS و نقشه‌های حداکثر عمق آب و حداکثر سرعت آب حاصل از خروجی مدل LISFLOOD-FP نسبت به تهیه آن اقدام گردید (۷، ۸ و ۱۳).

در انتهای برای گروه زیر ساخت‌ها (راه‌ها)، نقشه خطر از لحاظ طول جاده‌هایی که انتظار می‌رود در جریان سیل آسیب بینند را محاسبه کردیم. با استفاده از این نقشه طول معابری که دچار آبگرفتگی یا آسیب می‌شوند را به تفکیک رده خیابان شامل: معابر اصلی، معابر فرعی، جاده‌های بین مزارع بدست آورده شد (۷، ۸ و ۱۳).

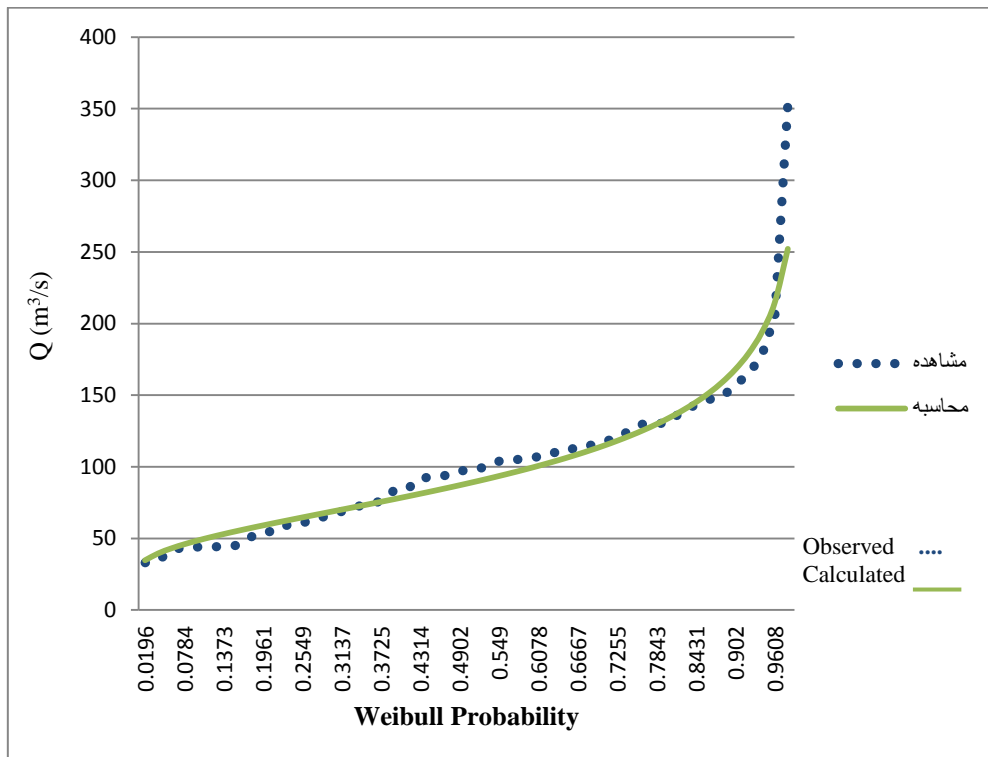
توزیع با استفاده از نرم افزار SMADA آورده شده است.

۲۰۰ و ۵۰۰ سال در ایستگاه هیدرومتری ارازکوسه برآورده گردید که مقادیر آن در جدول ۴ به دست آمده است همچنان در شکل ۳ نتایج گرافیکی برآش

جدول ۴- دبی با دوره بازگشت های مختلف.

Table 4. Discharges with different return periods.

500	200	100	50	25	10	5	2	دوره بازگشت (سال) Return periods (year)
								دبی (مترمکعب/ثانیه) Discharges (m ³ /s)
391	334	291	251	213	167	133	88	



شکل ۳- نتایج گرافیکی برآش توزیع با استفاده از نرم افزار SMADA

Figure 3. Graphic results of distribution fitting using SMADA software.

و استنجی مدل هیدرولیکی، ضریب زبری کanal ۰/۰۴۵ و ضریب دشت سیلانی ۰/۰۸ به دست آمد و بهترین برآش مدل، شاخص F را عدد ۷۱ درصد نشان داد.

جدول ۵ نتایج و استنجی مدل هیدرولیکی را براساس ضرایب زبری مختلف کanal و دشت سیلانی و شاخص تطابق نقشه ها (F) نشان می دهد. در مدل هیدرولیکی دو بعدی LISFLOOD-FP طبق نتایج

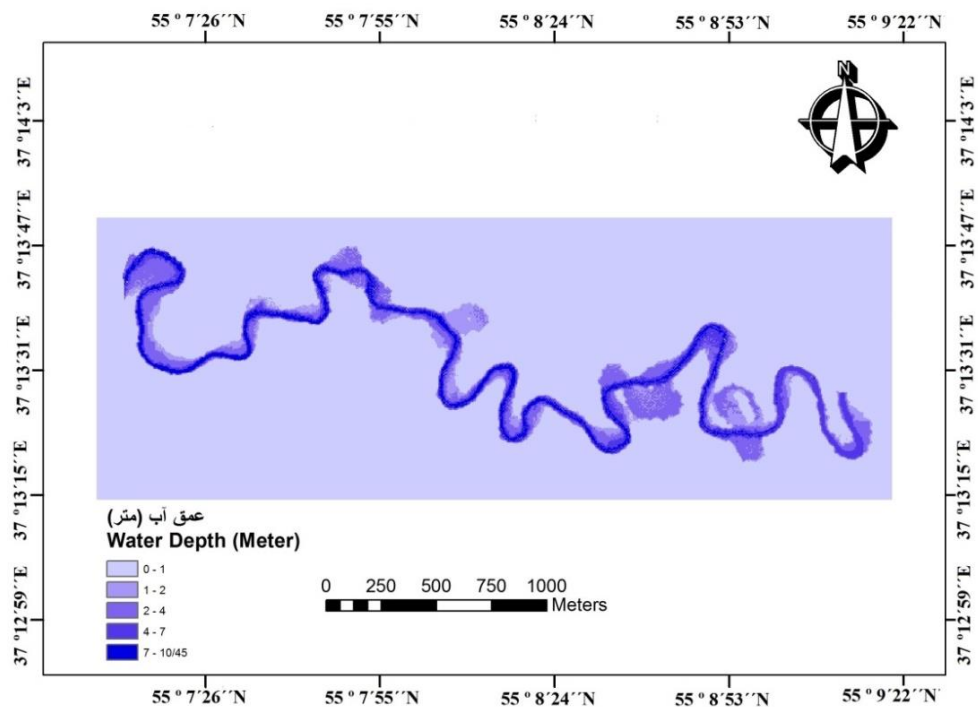
جدول ۵- واسنجی مدل براساس تعیین ضریب زبری کانال و دشت سیلانی و شاخص تطابق نقشه‌ها (F).

Table 5. Model calibration based on n_{ch} , n_{fp} and Fit index (F).

Channel roughness coefficient (n_{ch})	ضریب زبری دشت سیلانی (n_{fp})					
	Flood plain roughness coefficient					
	0.12	0.10	0.08	0.06	0.04	0.02
0.03	47	47	52	50	49	49
0.035	54	54	58	57	55	55
0.04	62	62	66	66	65	65
0.045	67	67	71	70	68	68
0.05	65	65	70	68	67	67
0.055	50	50	52	52	52	53

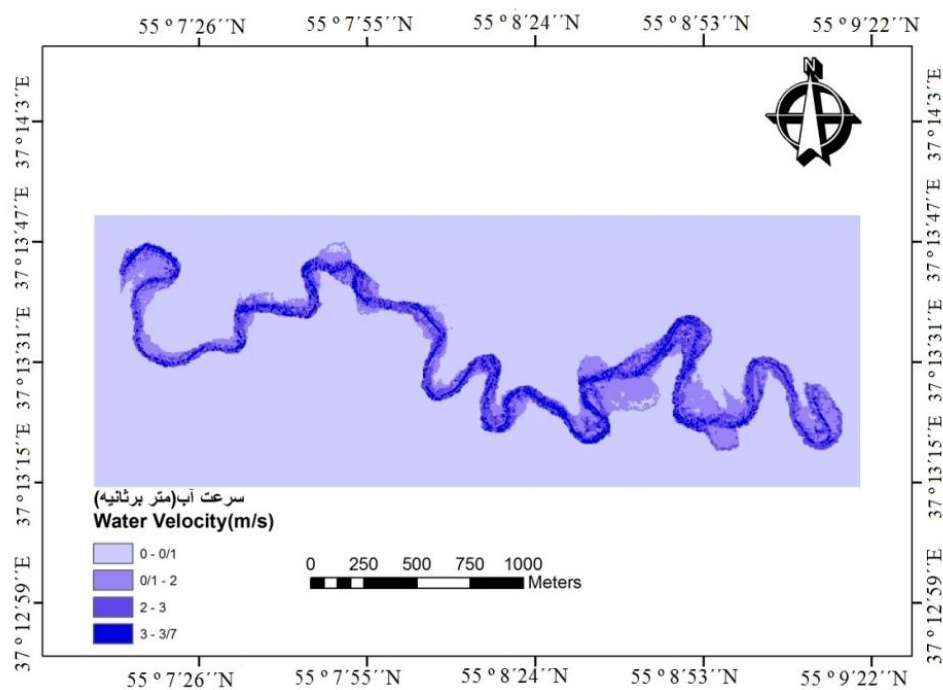
میزان سرعت آب با واحد متر بر ثانیه را نشان می‌دهد که بیشترین عمق $10/45$ متر و بیشترین سرعت به میزان سرعت $3/7$ متر بر ثانیه به دست آمده است. همچنین، در شکل ۴ عمق آب پیش‌بینی شده توسط مدل نشان داده شده است.

عمق و سرعت آب پیش‌بینی شده توسط مدل در بازه موردمطالعه رودخانه چهلچای (خرمالو) برای دبی با دوره بازگشت ۵۰۰ سال از دیگر نتایج بسیار مهم شبیه‌سازی مدل هیدرولیکی دو بعدی LISFLOOD-FP در جهت تهیه نقشه‌های خطر و خسارت می‌باشد شکل ۴ و شکل ۵، میزان عمق آب با واحد متر و



شکل ۴- عمق آب پیش‌بینی شده توسط مدل ناشی از بروز سیل برای دبی با دوره بازگشت ۵۰۰ سال.

Figure 4. Depth of water as simulated by the model for a flood with return period of 500 years.



شکل ۵- سرعت آب پیش‌بینی شده ناشی از بروز سیل برای دبی با دوره بازگشت ۵۰۰ سال.

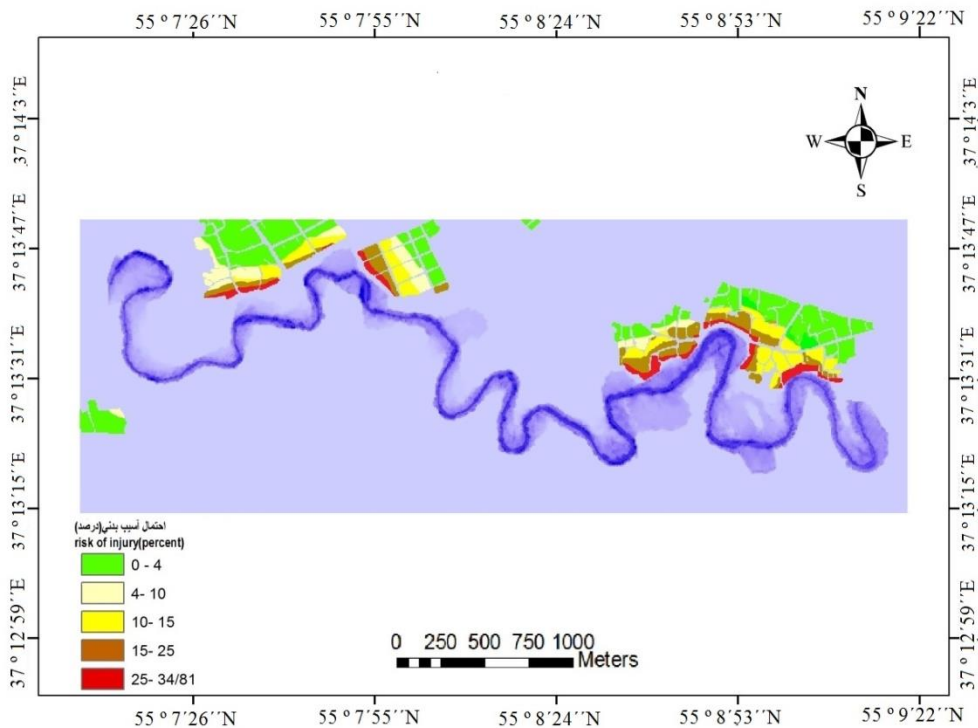
Figure 5. Velocity of water as simulated by the model for a flood with return period of 500 years.

منطقه مورد مطالعه در زمان بروز سیل را نشان می‌دهد که

در شکل ۶ احتمال آسیب بدنی به مردم حاضر در

خصوص تهیه نقشه خطر سیل با استفاده از مدل LISFLOOD-FP صورت نگرفته است و در سطح کشور نیز مقاله‌ای با این عنوان یافت نشد در خارج از کشور محمد زارع و همکاران (۲۰۲۱) از مدل سیل LISFLOOD FP برای تولید نقشه‌های خطر سیل در دودلاتر، لوکزامبورگ استفاده کردند که نتایج نشان از عملکرد خوب این مدل در تولید نقشه خطر می‌باشد (۲۳).

در ۵ رده تقسیم‌بندی شده است، برای سیل با دوره بازگشت ۵۰۰ سال بیشترین احتمال آسیب بدنی با در نظر گرفتن افراد معلول و کهنسال ساکن در منطقه مورد مطالعه، به میزان ۳۶/۸۱ درصد می‌باشد که ناحیه شمال شرقی رودخانه بیشترین احتمال آسیب بدنی را به دلیل پیچان‌رویدی شدید رودخانه و ساخت‌وسازهای غیرمجاز و غیراصولی در نواحی پر خطر و در ضلع جنوب‌غربی رودخانه و به دلیل فاصله زیاد ساختمان‌ها از رودخانه کم‌ترین احتمال آسیب بدنی را دارد می‌باشد. در منطقه مورد مطالعه هیچ‌گونه مطالعه‌ای در



شکل ۶- نقشه احتمال آسیب بدنی ناشی از بروز سیل با دوره بازگشت ۵۰۰ سال.

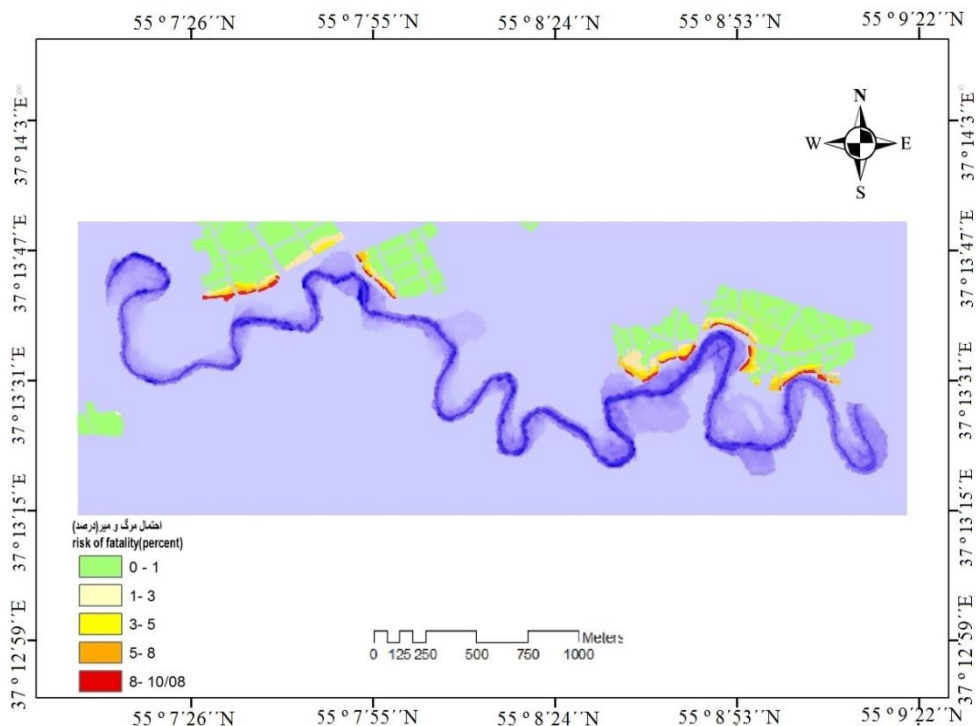
Figure 6. Risk of injury to people caused by floods with a return period of 500 years.

ساختمان و درنتیجه جمعیت قابل توجه ساکن در نزدیکی رودخانه که ضلع شمال شرقی بیشترین میزان مرگ‌ومیر را به خود اختصاص می‌دهد و کم‌ترین میزان احتمال مرگ‌ومیر مربوط به نواحی بین شمال و شمال غربی رودخانه و ناحیه جنوب‌غربی است، مناطق

در شکل ۷ نقشه احتمال مرگ‌ومیر افراد واقع در حوزه مورد مطالعه با دوره بازگشت ۵۰۰ سال در ۵ رده و با رنگ‌های مختلف نمایش داده شده است که در آن بالاترین احتمال مرگ‌ومیر با رنگ قرمز و به میزان ۱۰/۰۸ درصد می‌باشد. به دلیل تراکم بالای

مطالعه‌ای در سریلانکا توسط امارنت و همکاران (۲۰۱۵) مدل LISFLOOD-FP برای ارزیابی اثر خطر سیل در بخش کشاورزی موربدبررسی قرار گرفت و مشخص شد که بسیاری از مناطق زیرکشت برنج که در نزدیکی بخش میانی و پایین دست حوزه رودخانه واقع شده بودند بیشتر در معرض خطرات سیل هستند (۴).

مسکونی در این منطقه به صورت جزیره‌ای و جدا از هم می‌باشد، نقشه احتمال مرگ و میر افراد واقع در حوزه مورد مطالعه از دو منظر، مردم و دولت محلی دارای اهمیت است، مردم در صورت آشنایی با این نقشه در زمان بروز سیل در این مناطق تردید نمی‌کنند، ساخت و از سوی دیگر دولت محلی قبل از بروز بحران از ساخت و سازها جلوگیری خواهد کرد و در



شکل ۷- نقشه احتمال مرگ و میر افراد ناشی از بروز سیل با دوره بازگشت ۵۰۰ سال.

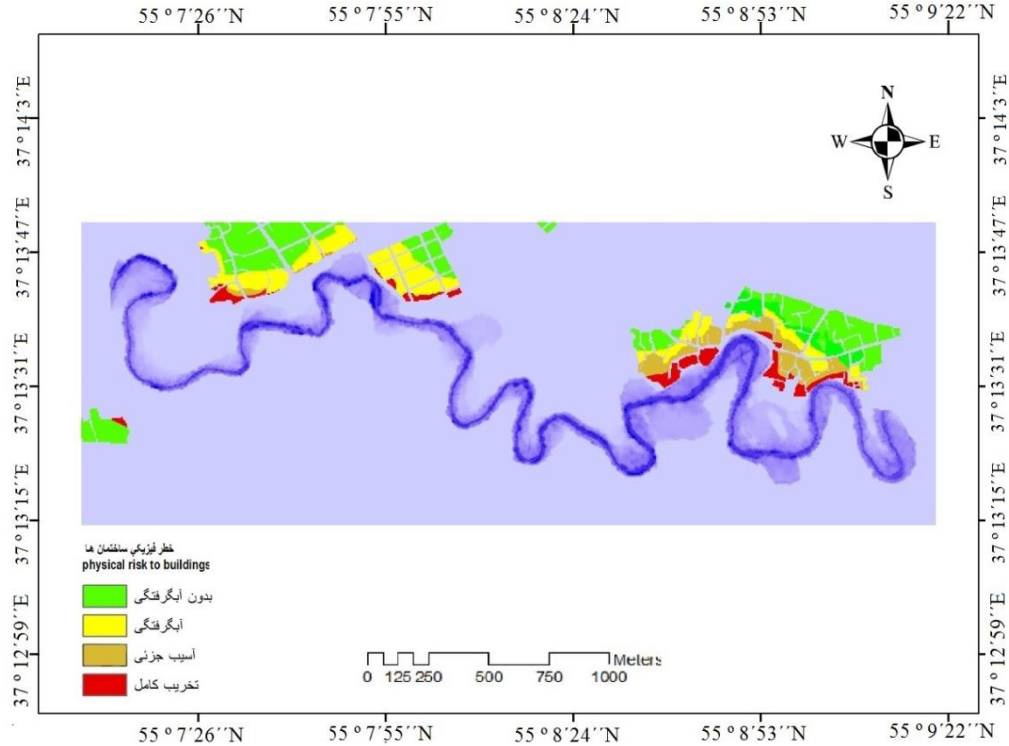
Figure 7. Risk of fatality to people caused by floods with a return period of 500 years.

چهار رده نامبرده شده وجود دارد، سرعت آب در ناحیه با تخریب کامل، بیشتر از ۳ متر بر ثانیه می‌باشد نواحی بین شمال و شمال‌غربی رودخانه و هم‌چنین ناحیه جنوب‌غربی کمترین میزان آب‌گرفتگی ساختمان‌ها را به دلیل فاصله زیاد از رودخانه دارا می‌باشد. با استفاده از این نقشه دولت در طراحی ساختمان‌های جدید تمهیدات ویژه‌ای لحاظ می‌کند و

در نقشه ارزیابی ریسک ساختمان مناطق با بیشترین خطر فیزیکی برای ساختمان‌ها شناسایی می‌شود که در این نقشه بالاترین رده خطر برای ساختمان بارده "تخرب کامل" است که با رنگ قرمز و در چهار منطقه شامل نواحی بدون آب‌گرفتگی، دارای آب‌گرفتگی، آسیب جزئی و تخریب کامل در شکل ۸ مشخص می‌باشد، در ناحیه شمال‌شرقی تمام

ساختمان‌ها عمل می‌کند.

شرکت‌های بیمه در زون‌بندی مناطق و تعیین حق بیمه‌نامه سیل متناسب با میزان آسیب احتمالی به

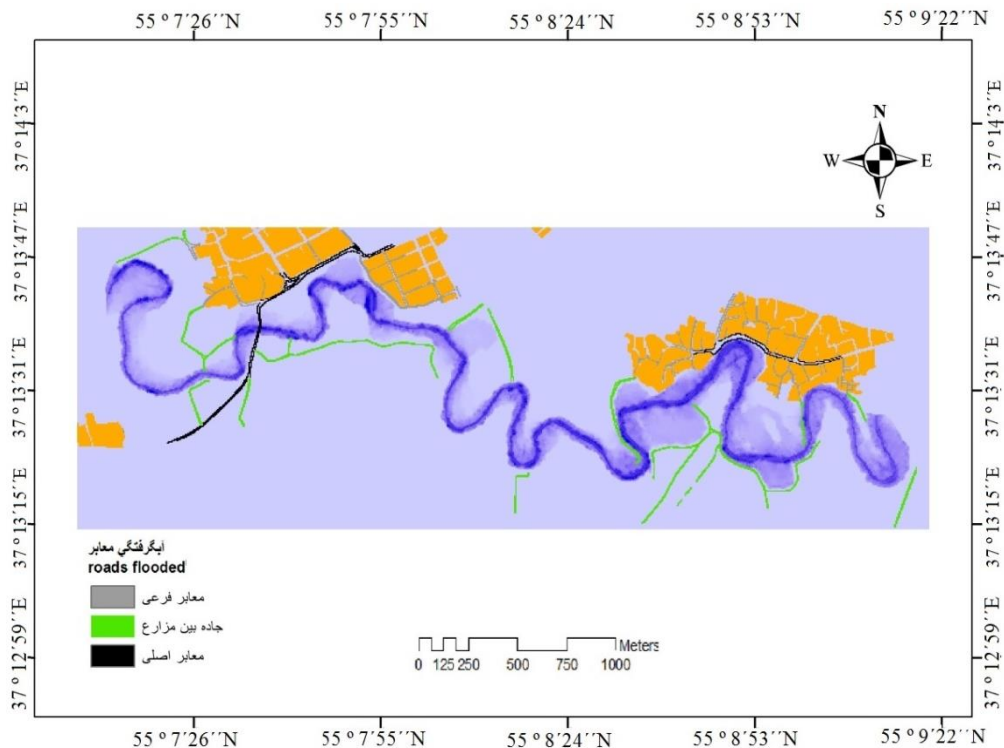


شکل ۸- نقشه آب‌گرفتگی ساختمان‌ها ناشی از بروز سیل با دوره بازگشت ۵۰۰ سال.

Figure 8. Physical Risk Assessment for buildings caused by floods with a return period of 500 years.

اقدام و از توسعه معابر در نواحی با خطر آب‌گرفتگی جلوگیری گردد، این طول از طریق نرم‌افزار GIS قابل محاسبه می‌باشد. معابر ناحیه شمال‌شرقی، در زمان بروز سیل بیشترین طول آب‌گرفتگی را خواهند داشت. این نقشه در جانمایی مناسب جهت توسعه و یا ایجاد شبکه آب، برق و گاز در شناخت مناطق پرخطر و عدم عبور خطوط مذکور بسیار مفید است.

در نقشه خطر سیلاب برای زیرساخت‌ها شکل ۹، تمامی معابر دچار آب‌گرفتگی در زمان سیل به همراه طول آن قابل شناسایی می‌باشد، طول مسیر آبگیری معابر فرعی ۲۰۶۲ متر، برای جاده بین مزارع ۲۶۳۶۴ متر طول که بیشترین طول آب‌گرفتگی می‌باشد و برای معبر اصلی طول ۱۰۸۳۱ متر دچار آب‌گرفتگی و حتی از حالت سرویس‌دهی خارج خواهد شد که نسبت به جایگزین معبر مشابه و در محلی دیگر

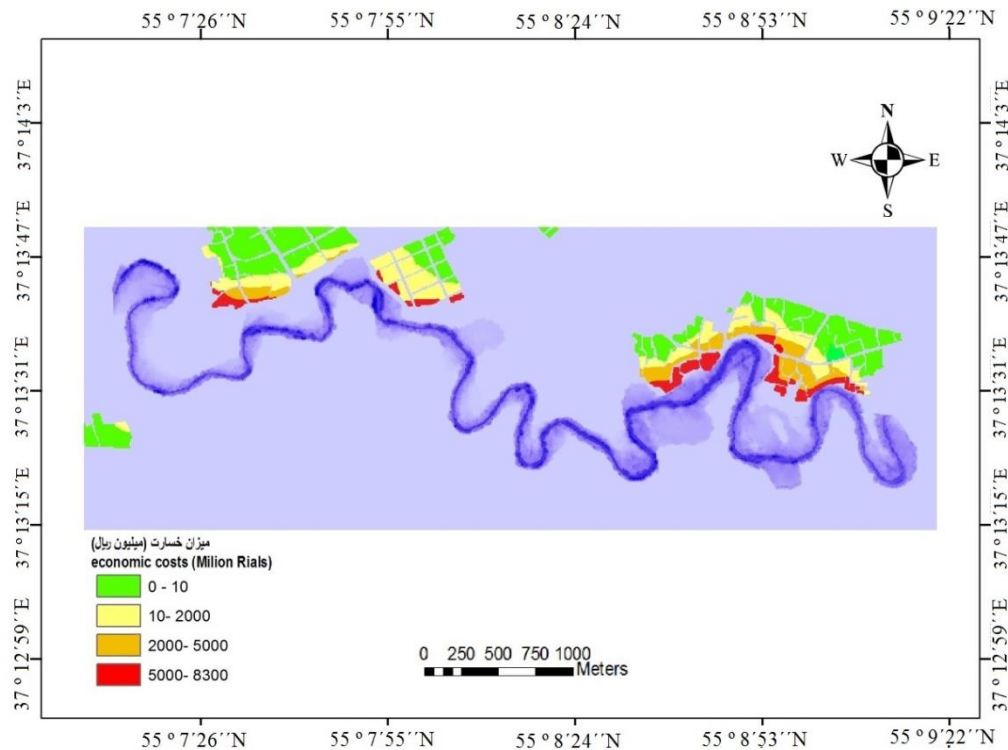


شکل ۹- نقشه محدوده آب گرفتگی معابر ناشی از بروز سیل با دوره بازگشت ۵۰۰ سال.

Figure 9. Physical flood risk to Infrastructure caused by floods with a return period of 500 years.

هم‌چنین پورزمان و همکاران (۲۰۱۶) باهدف پنهان‌بندی خطر و خسارت سیل در بازه رودخانه منطقه بن‌کوه در حوضه رودخانه جبله‌رود واقع در نیمه شمالی ایران به طول ۲/۵ کیلومتر از مدل CCHE2D استفاده کرد اطلاعات مورد نیاز برای اجرای مدل شامل نقشه توپوگرافی بزرگ مقیاس از بازه مورد مطالعه و دبی رودخانه با دوره بازگشت‌های مختلف می‌باشد نقشه خطر براساس سرعت و عمق و تلفیق این دو معیار و در سه کلاس کم، متوسط و زیاد تهییه شد، برای تعیین خسارت با ترکیب نقشه‌های بزرگی خطر، عناصر در معرض خطر و نیز درجه آسیب‌پذیری عناصر مختلف، با استفاده از رابطه ریسک میزان خسارت ریالی در سه کلاس به دست آمد، نتایج نشان از عملکرد بسیار خوب مدل در منطقه مورد مطالعه است (۱۷).

در نقشه خسارت ساختمان‌ها شکل ۱۰، میزان خسارت ناشی از سیل برای ساختمان‌ها را برای دوره بازگشت ۵۰۰ سال به دست آورده‌یم، این نقشه در چهار رده تقسیم‌شده است که بیشترین میزان خسارت برای این دوره بازگشت، ۸۳۰۰ میلیون ریال به ازای هر سلوول ۵×۵ برای مناطق بارنگ قمز تعیین گردیده است، که طبق نقشه مورداشاره، بیشترین خسارت مالی ناشی از بروز سیل مربوط به ضلع شمال‌شرقی رودخانه تشخیص داده شد، بنابراین ضمن جلوگیری دولت از ساخت‌وساز در این و یا اقدامات پیشگیری از سیل شرکت‌های بیمه نواحی مابین شمال و شمال‌غربی و هم‌چنین ناحیه جنوب‌غربی نیز کمترین میزان خسارت وارد ناشی از سیل به ساختمان‌ها را خواهیم داشت، جمع کل خسارت ناشی از این سیل حدوداً ۱۳۴۱۲۱۵۰ میلیون ریال برآورد شده است.



شکل ۱۰- نقشه خسارت وارد شده به ساختمان و اثاثیه ناشی از سیل با دوره بازگشت ۵۰۰ سال.

Figure 10. Economic flood risk to buildings caused by floods with a return period of 500 years.

عنوان نقشه‌های خطر صورت می‌گیرد و می‌تواند منجر به کاهش خسارات ناشی از سیل در مناطق مختلف شود؛ زیرا با این دیدگاه، نقشه‌های خطر و خسارت در مکان‌های در معرض خطر سیل، پیش‌نیاز توسعه مناسب اقتصادی- اجتماعی و مبنای تعیین اثرات اکولوژیک و زیست‌محیطی مناطق در معرض خطر بوده و میزان ریسک سرمایه‌گذاری را هم برای مردم و هم برای مدیران و برنامه‌ریزان مشخص می‌کند.

در منطقه مورد مطالعه، هر چهار نقشه خطر شامل نقشه احتمال آسیب بدنی، نقشه احتمال مرگ و میر افراد، نقشه آب‌گرفتگی ساختمان و نقشه محدوده آب‌گرفتگی معابر و هم‌چنین نقشه خسارت نشان می‌دهد ضلع شمال شرقی رودخانه آسیب‌پذیرترین بخش از محدوده مطالعه‌ی می‌باشد و با توجه به تراکم بالای ساخت‌وساز در آن نواحی، ضعف در

نتیجه‌گیری کلی

از جمله محدودیت‌های این مطالعه، عدم مطالعات مشابه در حوزه‌های دیگر، کمبود داده‌های هیدرولیکی هم‌چون دبی، ارتفاع و سرعت آب و پارامترهای موردنیاز مدل، عدم وجود نقشه‌برداری زمینی با مقیاس‌های بزرگ‌تر جهت تولید نقشه‌های رقومی ارتفاعی باکیفیت بسیار بالاتر، عدم وجود تصاویر بیش‌تر سنجش‌از دور سیل‌های دیگر، عدم دسترسی به اطلاعات جمعیتی شامل تعداد افراد معلول و یا ناتوان حرکتی و هم‌چنین تعداد افراد کهنسال از جمله محدودیت‌های این مطالعه می‌باشد.

براساس تجربیات تئوریک، یکی از شیوه‌های مناسب در جهت مدیریت سیلاب، تعیین میزان پیشروی سیلاب و ارتفاع آن نسبت به سطح زمین و نیز تعیین خصوصیات سیلاب از جمله سرعت و جهت پیشروی سیل در دوره بازگشت‌های مختلف که تحت

تهیه نقشه خطر و خسارت یکی از اصلی‌ترین، مهم‌ترین اقدامات مدیریت سیلاب در تمامی کشورها می‌باشد که عدم توجه به آن از سوی دولتها موجب بروز خسارات بسیار زیاد ناشی از سیل در جهان شده است.

با توجه به هزینه‌بر بودن تهیه نقشه خطر و خسارت در مقیاس بزرگ، توصیه می‌شود ادارات دولتی مرتبط با سیل با مشارکت شرکت‌های بیمه نسبت به آن اقدام نمایند.

تقدیر و تشکر

این پژوهش در قالب یک پایان‌نامه در دانشگاه آزاد اسلامی واحد اراک، صورت گرفته است. نویسنده‌گان از دانشگاه آزاد اسلامی واحد اراک، که موجبات تسهیل انجام این پژوهش را فراهم نموده‌اند تشکر می‌نمایند.

داده‌ها و اطلاعات

مبانی داده‌ها و اطلاعات مقاله حاضر، پایان‌نامه مقطع دکترای تخصصی نویسنده اول است که در گروه مهندسی آب دانشگاه آزاد اسلامی واحد اراک انجام گردیده است و با مکاتبه با نویسنده مسئول قابل دسترسی می‌باشدند.

تعارض منافع

در این مقاله، تعارض منافع وجود ندارد و این مسئله مورد تأیید همه نویسنده‌گان است.

مشارکت نویسنده‌گان

مشارکت نویسنده‌گان در این متن به شکل ذیل است: نویسنده اول: تهیه و آماده‌سازی داده‌ها، داده‌برداری، مدل‌سازی، انجام محاسبات، تهیه نقشه‌ها و اطلاعات

استحکام بنای ساختمان‌ها و قدمت زیاد بعضی از ساختمان‌ها، آگاهی مردم، شهرداری و ادارات ذی‌ربط از شدت خطر سیل و عدم شناخت رفتار هیدرولیکی رودخانه دارای اهمیت می‌باشد، تا در این مناطق از ایجاد مراکز تفریحی، زمین‌های کشاورزی، ایجاد منازل مسکونی پرهیز گردد.

هم‌چنین از دیگر کاربردهای مهم نقشه‌های خطر و خسارت، هم سو شدن تعریف فنی سیل بین بهره‌برداران و ادارات مرتبط با سیل می‌باشد، با در دسترس آزاد نقشه‌های خطر، مردم از گسترش خطر سیل با دوره‌های مختلف بازگشت سیل در محل زندگی خود آگاهی یافته و در راستای کاهش آن با دولت همکاری مؤثری خواهند داشت.

درنهایت پیشنهاد می‌گردد در وهله نخست تا برطرف شدن اساس خطر ناشی از سیل، شهرداری رؤسا نسبت به بیمه سیل برای ساختمان‌های واقع در محدوده مورداشarde، از محل اعتبارات خود اقدام نماید و هم‌زمان اداره امور آب گنبد، نسبت به جداره رودخانه در ناحیه مذکور و دیگر اقدامات پیشگیری از خسارات سیل را در دستور کار خود قرار دهد؛ شرکت‌های خدمات رسان از جمله شرکت گاز و شرکت برق تا حد امکان نسبت به جابجایی تیرهای برق و علمکهای گاز به نقاط با خطر کم‌تر سیل، اقدام کنند که در زمان بروز سیل انشعابات مذکور دچار کم‌ترین آسیب شوند. گروههای امدادرسان هم‌چون هلال‌احمر نیز ضمن آگاهی از نقاط حادثه‌خیز و میزان آب‌گرفتگی معابر در نقاط مسکونی، اقدامات لازم پیش از وقوع سیل را انجام دهند و به مردم نیز آموزش رهایی در زمان بروز سیل داده شود و با توجه به تراکم بالای جمعیت واقع در ضلع شمال‌شرقی رودخانه، در صورت بروز سیل امکان امدادرسانی به مردم دچار اختلال نشود.

اصول اخلاقی

نویسنده‌گان اصول اخلاقی را در انجام و انتشار این اثر علمی رعایت نموده‌اند و این موضوع مورد تأیید همه آن‌ها می‌باشد.

حمایت مالی

این پژوهش از حمایت مستقیم مالی برخوردار نبوده است.

مکانی، تهییه پیش‌نویس مقاله.

نویسنده دوم: طرح تحقیق و روش‌شناسی، اصلاح و نهایی سازی مقاله، مشارکت در آنالیزها، نظارت پژوهش.

نویسنده سوم: مشارکت در روش پژوهش، نظارت پژوهش، اصلاح و بازبینی مقاله.

نویسنده چهارم: مشارکت در طرح و روش پژوهش، نظارت پژوهش، راهنمایی بر روند مدلسازی، بررسی و کنترل نتایج، بازبینی مقاله.

منابع

- Alfieri, L., Feyen, L., Dottori, F., AND Bianchi, A. 2015. Ensemble flood risk assessment in Europe under high end climate scenarios. *Global Environmental Change*. 35: 199-212.
- Alfieri, L., Feyen, L., and Di Baldassarre, G. 2016. Increasing flood risk under climate change: a pan-European assessment of the benefits of four adaptation strategies. *Climatic Change*, 136: 3. 507-521.
- Alfieri, L., Salamon, P., Bianchi, A., Neal, J., Bates, P.D., and Feyen, L. 2014. Advances in pan- European flood hazard mapping, *Hydrol. Process.* 28: 18. 4928-4937, doi:10.1002/hyp.9947.
- Amarnath, G., Umer, Y.M., Alahacoon, N., and Inada, Y. 2015. Modelling the flood-risk extent using LISFLOOD-FP in a complex watershed: case study of Mundeni Aru River Basin, Sri Lanka. *Proceedings of the International Association of Hydrological Sciences*, 370: 131-138.
- Barredo, J.I., de Roo, A., and Lavalle, C. 2007. Flood risk mapping at European scale. *Water Science and Technology*, 56: 11-17.
- Bates, P.D., and De Roo, A.P.J. 2000. A simple raster-based model for flood inundation simulation. *Journal of hydrology*, 236: 1-2. 54-77.
- DEFRA and UK Environment Agency. 2006. Flood and Coastal Defense R&D Program: Flood Risk to People, Phase 2. FD2321/TR2 Guidance Document, pp. 1-82.
- DEFRA, E. 2006. R&D outputs: Flood risks to people. Phase 2. FD2321/TR1 The flood risks to people methodology, pp. 1-52.
- Dottori, F., Kalas, M., Salamon, P., Bianchi, A., Alfieri, L., and Feyen, L. 2017. An operational procedure for rapid flood risk assessment in Europe. *Nat. Hazards Earth Syst. Sci.* 17: 1111-1126.
- Dottori, F., Alfieri, L., Bianchi, A., Skoien, J., and Salamon, P. 2021. A new dataset of river flood hazard maps for Europe and the Mediterranean Basin region. *Earth System Science Data Discussions*, pp. 1-35.
- European Commission (EC). 2007. Directive 2007/60/EC of the European Parliament and of the Council on the assessment and management of flood risks, Official Journal of the European Communities, Brussels, available at: <http://eurlex.europa.eu/legal-content/ EN/TXT/?uri = CELEX%3A32007L0060> (accessed on 13/5/2020).
- Feyen, L., Dankers, R., Bódis, K., Salamon, P., and Barredo, J.I. 2012. Fluvial floodrisk in Europe in 725 present and future climates. *Climatic Change*: 112: 1. 47-62, doi:10.1007/s10584-011-0339-7.
- Gallina, V., Torresan, S., Critto, A., Zabeo, A., Semenzin, E., Marcomini, A., Balbi, S., Gain, A., Giupponi, C.,

- and Mojtahed, V. 2013. Development of a risk assessment methodology to estimate risk levels. *KULTURisk Project Deliverable*, 1.
14. Peyravi, M., Peyvandi, A.A., Khodadadi, A., and Marzaleh, M.A. 2019. Flood in the South-West of Iran in 2019; causes, problems, actions and lesson learned. *Bulletin of Emergency & Trauma*, 7: 2. p.199.
15. Peyravi, M., Peyvandi, A.A., and Marzaleh, M.A. 2019. Donations in the Great Flood of Iran, 2019: strengths and challenges. *Iran Red Crescent Med J*, 21(5), p. e92904.
16. Plate, E.J. 2002. Flood risk and flood management. *Journal of hydrology*, 267: 1-2. 2-11.
17. Poorzaman, S., Sadoddin, A., and Bahremand, A. 2021. Flood hazard mapping using the CCHE2D numerical model in the Hable-rud River-a reach located downstream of Bone-Kuh Village. *Journal of Natural Environmental Hazards*, pp. 1-1.
18. Rahimzadeh, O., Bahremand, A., Noura, N., and Mukolwe, M. 2019. Evaluating flood extent mapping of two hydraulic models, 1D HEC-RAS and 2D LISFLOOD-FP in comparison with aerial imagery observations in Gorgan flood plain, Iran. *Natural resource modeling*, 32(4), p.e12214.
19. Sadeghian, K., Bahremand, A., and Amir, S. 2020. Two-Dimentional Hydraulic Simulation of Floods using the LISFLOOD-FP Raster Model (A Case Study: The Shemshak Watershed, Tehran Province). *Jwmr*. 11: 22. 165-174. (In Persian)
20. Sanderson, D., and Sharma, A. 2016. World disasters report 2016: Resilience: Saving lives today, investing for tomorrow. *Geneva, Switzerland: International Federation of Red Cross and Red Crescent Societies (IFRC)*.
21. VahabI, J. 2006. Flood hazard zonation using and hydraulic models. *pajouhesh-va-sazandegi*, [online] 19(2) (71 IN NATURAL RESOURCES)), pp. 33-40. (In Persian)
22. Wing, O.E., Bates, P.D., Sampson, C.C., Smith, A.M., Johnson, K.A., and Erickson, T.A. 2017. Validation of a 30 m resolution flood hazard model of the conterminous United States. *Water Resources Research*, 53(9), 7968-7986, doi:10.1002/2017WR020917.
23. Zare, M., Schumann, G.J.P., Teferle, F.N., and Mansorian, R. 2021. Generating Flood Hazard Maps Based on an Innovative Spatial Interpolation Methodology for Precipitation. *Atmosphere*, 12(10), p. 1336.

